

## О квантовых магниторазмерных осцилляционных эффектах в органических проводниках

М. Я. Азбель

*School of Physics and Astronomy, Tel Aviv University, Tel Aviv, 69978, Israel*

О. В. Кириченко, В. Г. Песчанский

*Физико-технический институт низких температур им. Б. И. Веркина НАН Украины  
Украина, 61164, г. Харьков, пр. Ленина, 47  
E-mail: vpeschansky@ilt.kharkov.ua*

Статья поступила в редакцию 5 апреля 2000 г.

Теоретически исследованы квантовые магниторазмерные осцилляции (КМО) термодинамических величин в слоистых органических проводниках с квазидвумерным электронным энергетическим спектром произвольного вида. Показано, что модуляция КМО содержит детальную информацию о законе дисперсии носителей заряда.

Теоретично досліджено квантові магніторозмірні осциляції (КМО) термодинамічних характеристик шаруватих органічних провідників з довільним квазидвовимірним електронним енергетичним спектром. Показано, що модуляція КМО містить детальну інформацію про закон дисперсії носіїв заряду.

PACS: 71.20.Rv, 76.20.+q

Квантовые осцилляционные эффекты Шубникова–де Гааза и де Гааза–ван Альфена [1–3] наиболее ярко проявляются в проводниках органического происхождения. Это связано с низкоразмерным характером энергетического спектра носителей заряда в органических проводниках, которые, как правило, обладают слоистой либо нитевидной структурой с резкой анизотропией электропроводности. Электронный энергетический спектр слоистых проводников является квазидвумерным, а закон дисперсии носителей заряда  $\epsilon(\mathbf{p})$  в нитеобразных проводниках с высокой электропроводностью лишь вдоль нити, по-видимому, имеет квазиодномерный характер. Высокая электропроводность органических проводников хотя бы в одном направлении (например, вдоль оси  $y$ ) свидетельствует о большом числе носителей заряда в них, и эти проводники по крайней мере в этом направлении обладают металлическим типом проводимости.

Поверхность Ферми  $\epsilon(\mathbf{p}) = \epsilon_F$  квазиодномерных проводников можно представить в виде слабогфрированных плоскостей в импульсном пространстве. В слоистых проводниках, помещенных

в магнитное поле  $\mathbf{H} = (0, 0, H)$ , приложенное вдоль слоев, большая часть носителей заряда движется по открытым траекториям в импульсном пространстве и, естественно, не принимает участия в формировании квантовых осцилляционных эффектов в массивных образцах, толщина которых  $L$  много больше длины свободного пробега носителей заряда  $l$  [4]. Однако в тонких проводниках ( $L \leq l$ ) с достаточно гладкой поверхностью, почти зеркально отражающей электроны проводимости, площади открытых сечений плоскостью  $p_z = \text{const}$  изоэнергетической поверхности  $\epsilon(\mathbf{p}) = \epsilon_F$ , усеченных зеркальными отражениями носителей заряда границей образца,  $S(\epsilon, p_x, p_y)$  могут принимать лишь дискретные значения, которые отличаются на величину, кратную  $2\pi\hbar eH/c$ , где  $e$  — заряд электрона;  $\hbar$  — постоянная Планка;  $c$  — скорость света в вакууме. В результате электроны проводимости на открытых сечениях поверхности Ферми создают своеобразный осцилляционный эффект [5–7], при котором магниторазмерные квантовые осцилляции намагнитченности и магнитосопротивления сопровождаются модуляцией амплитуды.

В слоистых органических проводниках в формировании квантовых магниторазмерных осцилляций вовлечено значительно большее число носителей заряда, чем в обычных квазиизотропных металлах из-за слабой зависимости в них  $S(\epsilon, p_x, p_y)$  от проекции импульса  $p_x$  (ось  $x$  направлена вдоль нормали к слоям). В квазиодномерных проводниках следует ожидать еще более яркого проявления квантового магниторазмерного эффекта, поскольку в них усеченные зеркальными отражениями площади сечений поверхности Ферми слабо зависят также и от  $p_z$  [8]. В результате усреднение по этим переменным не приводит к существенному уменьшению амплитуды осцилляций по сравнению со случаем квазиизотропных металлов.

Рассмотрим квантовые магниторазмерные осцилляционные эффекты в органических проводниках с произвольным видом электронного энергетического спектра

$$\epsilon(\mathbf{p}) = \sum_{n=0}^{\infty} \epsilon_n(p_y, p_z) \cos \left[ \frac{anp_x}{\hbar} + \alpha_n(p_y, p_z) \right]. \quad (1)$$

Коэффициенты при косинусах в (1), как правило, быстро убывают с ростом номера  $n$ , и максимальное значение функции  $\epsilon_1(p_y, p_z)$  на поверхности Ферми равно  $\eta \epsilon_F \ll \epsilon_F$ , где  $\eta$  — параметр квазидвумерности электронного энергетического спектра слоистого проводника;  $a$  — расстояние между слоями;  $\alpha_n(p_y, p_z) = -\alpha_n(-p_y, -p_z)$ . В квазиодномерных проводниках функции  $\epsilon_n(p_y, p_z) = \epsilon_n(-p_y, -p_z)$ , включая и  $\epsilon_0(p_y, p_z)$ , слабо зависят от  $p_z$ .

В магнитном поле, параллельном поверхности тонкой пластины с достаточно гладкими гранями  $y = 0$ ,  $L$ , квантование площадей принимает следующий вид:

$$S(\epsilon, p_x, p_z) = \int_{p_x}^{p_x + eHL/c} 2p_y(\epsilon, p_x, p_z) dp_x = 2\pi\hbar \frac{eH}{c} (n + \gamma), \quad (2)$$

где  $-1 < \gamma \leq 0$ , а  $n = 1, 2, 3, \dots$ , т.е.  $n$  — целое положительное число. Исключительно ради краткости анализа осцилляционных эффектов полагаем,

что открытые сечения поверхности Ферми являются симметричными,  $p_y(p_x, p_z) = -p_y(-p_x, p_z)$ .

В области не слишком сильных магнитных полей, когда  $a$  много меньше не только  $L$ , но и характерного квантового радиуса  $\rho = (c\hbar/eH)^{1/2}$ , для нахождения квантованного энергетического спектра электронов проводимости с помощью соотношения (2) можно воспользоваться их квазиклассическими траекториями в магнитном поле. Разрешив относительно  $p_y$  уравнение  $\epsilon(\mathbf{p}) = \epsilon$ , где  $\epsilon(\mathbf{p})$  задано соотношением (1), получим для среднего значения проекции импульса  $p_y$  выражение

$$\bar{p}_y(\epsilon, p_x, p_z) = \frac{c}{eHL} \int_{p_x}^{p_x + eHL/c} p_y(\epsilon, p_x, p_z) dp_x = \frac{\pi\hbar}{L} n. \quad (3)$$

Если квантовый радиус  $\rho$  сравним с расстоянием между слоями  $a$ , что справедливо для наноструктур и сверхрешеток, то энергетический спектр электронов проводимости можно определить с помощью решения уравнения Шредингера

$$\hat{H}(\hat{\mathbf{P}} - e\mathbf{A}/c)\psi = \epsilon\psi. \quad (4)$$

$\mathbf{A} = (Hy, 0, 0)$  — векторный потенциал. В калибровке Ландау векторного потенциала гамильтониан  $\hat{H}(P_x - (eH/c)y, \hat{p}_y, p_z)$  не зависит от  $x, z$  и компоненты обобщенного импульса  $P_x; p_z$  являются хорошими квантовыми числами. При  $\eta \ll 1$  гамильтониан слабо зависит от кинематического импульса  $p_x = (P_x - eHy/c)$  и, следовательно, от  $y$ . В пределе  $\eta = 0$  хорошим квантовым числом, характеризующим состояние электрона проводимости, будет также и  $p_y$ , а действие оператора  $\hat{p}_y$  на волновую функцию  $\psi$  при отличных от нуля, но малых  $\eta$  запишем как

$$\hat{p}_y \psi = p_y^0 \psi + \delta\hat{p}_y \psi, \quad (5)$$

где  $\delta\hat{p}_y$  стремится к нулю вместе с  $\eta$ .

При малых  $\eta$  решение уравнения (4) можно представить как

$$\psi(x, y, z) = u(y) \exp \left[ \frac{i}{\hbar} (xp_x + yp_y^0 + zp_z) \right]. \quad (6)$$

В линейном приближении по малому параметру  $\eta$  уравнение для функции  $u(y)$  имеет вид

$$\left[ \epsilon_0(p_y^0, p_z) + \epsilon_1(p_y^0, p_z) \cos \left( \frac{ap_x}{\hbar} - \frac{eHa}{c\hbar} y + \alpha_1(p_y^0, p_z) \right) \right] u(y) - i\hbar v_y^0 \frac{\partial u(y)}{\partial y} = \epsilon u(y), \quad (7)$$

где  $v_y^0 = \partial \epsilon_0(p_y^0, p_z^0) / \partial p_y^0$ .

Решение уравнения (7) должно удовлетворять граничному условию  $u(0) = u(L) = 0$ , которое и определяет квантованные уровни энергии носителей заряда. Этому граничному условию может удовлетворять стоячая волна с узлами при  $y = 0$  и  $L$ . Сконструировав стоячую волну с помощью решений уравнения (7), легко получить квантованный энергетический спектр носителей заряда. В основном приближении по параметру  $\eta$  имеем

$$\epsilon_n^0(p_z) = \epsilon_0 \left( \frac{\pi \hbar n}{L}, p_z \right), \quad (8)$$

а зависимость уровней энергии от величины магнитного поля появляется в малых поправках к этой величине по параметру  $\eta$ .

Для определения квантовых магниторазмерных осцилляций намагниченности и прочих термодинамических величин достаточно вычислить термодинамический потенциал  $\Omega$  образца, заключенного в объеме  $V$ :

$$\Omega = -\Theta \sum_{\sigma} \sum_{n=0}^{\infty} \frac{2V}{L(2\pi\hbar)^2} \times \int dp_x \int dp_z \ln \left( 1 + \exp \frac{-\epsilon + \zeta_{\sigma}}{\Theta} \right), \quad (9)$$

где  $\Theta$  — температура, умноженная на постоянную Больцмана;  $\zeta_{\sigma} = \zeta \pm \mu H$ ,  $\zeta$  — химический потенциал;  $\mu$  — магнетон Бора. С помощью формулы Пуассона запишем осциллирующую часть потенциала:

$$\tilde{\Omega} = \text{Re} \sum_{k=1}^{\infty} \sum_{\sigma} I_k, \quad (10)$$

где

$$I_k = -\Theta \frac{2V}{L(2\pi\hbar)^2} \times \int_{-\gamma}^{\infty} dn \int dp_x \int dp_z \exp(2\pi i k n) \ln \left( 1 + \exp \frac{-\epsilon + \zeta_{\sigma}}{\Theta} \right). \quad (11)$$

Заменив в интеграле переменную  $n$  более удобной переменной интегрирования  $\epsilon$ , получим

$$I_k = -\Theta \frac{2V}{L(2\pi\hbar)^2} \int_{\epsilon_0}^{\infty} d\epsilon \int dp_x \times \int dp_z \ln \left( 1 + \exp \frac{\zeta_{\sigma} - \epsilon}{\Theta} \right) \frac{\partial n}{\partial \epsilon} \exp(2\pi i k n). \quad (12)$$

Следует отметить, что при  $\Theta \ll \zeta$  основной вклад в  $I_k$  вносит окрестность точки  $\epsilon = \zeta_{\sigma}$ . Пределы интегрирования по  $p_z$ , вообще говоря, определяются из условия  $S > 0$ . Однако осциллирующая часть намагниченности проводника формируется носителями заряда с экстремальными значениями  $S$ . При любом законе дисперсии электронов проводимости  $S$  имеет экстремум на центральном сечении поверхности Ферми плоскостью  $p_z = 0$  и, возможно, еще несколько экстремумов в случае достаточно сложного спектра носителей заряда.

Рассмотрим наиболее простую модель закона дисперсии квазидвумерного проводника, когда  $S$  имеет один экстремум при  $p_z = 0$ , а именно:

$$\epsilon = \frac{p_y^2 + p_z^2}{2m} + \eta A \cos \frac{ap_x}{\hbar}, \quad (13)$$

где постоянная  $A$  совпадает по величине с  $\epsilon_F$ .

Такой закон дисперсии носителей заряда позволяет получить не только квазиклассическое, но и точное решение уравнения (4). При вычислении осцилляций намагниченности достаточно учесть лишь небольшую окрестность точки  $p_z = 0$ , где

$$p_z^2 \leq p_0^2 \ll 2m\epsilon.$$

Тогда, определяя  $n$  из условия квантования (2), его можно представить в виде двух слагаемых — основного, которое не зависит от  $H$ , и малой добавки, пропорциональной  $\eta$  и зависящей от магнитного поля:

$$n = -\gamma + \frac{L\sqrt{2m}}{2\pi\hbar} \sqrt{\epsilon - p_z^2/2m} \times \left[ 1 - \eta \frac{Ar}{2L(\epsilon - p_z^2/2m)} \sin \frac{L}{2r} \cos \left( \frac{ap_x}{\hbar} + \frac{L}{2r} \right) \right], \quad (14)$$

где  $r = c\hbar/eHa$ . Мы будем полагать выполненным условие

$$\frac{R}{L} \eta \ll 1. \quad (15)$$

Изменив порядок интегрирования в формуле (12), сначала проинтегрируем по частям по  $\varepsilon$  и, оставив только быстроосциллирующие слагаемые, получим

$$I_k = -\frac{V}{L(2\pi\hbar)^2\pi ik} \int_{-\pi\hbar/a}^{\pi\hbar/a} dp_x \int_{-p_0}^{p_0} dp_z \frac{1}{2\pi ik} \times \\ \times \int_{\varepsilon_0}^{\infty} d\varepsilon f\left(\frac{\varepsilon - \zeta_\sigma}{\Theta}\right) \exp(2\pi i k n), \quad (16)$$

где  $f(x) = (1 + \exp x)^{-1}$  — функция распределения Ферми. Подставим выражение (14) для  $n$  в (16):

$$I_k = \frac{V}{L2\pi^2\hbar a} \exp\left(-2\pi i k \gamma - \frac{i\pi}{2}\right) \int_0^{\infty} d\varepsilon f\left(\frac{\varepsilon - \zeta_\sigma}{\Theta}\right) \times \\ \times \int_{-p_0}^{p_0} dp_z \exp\left(\frac{ikL\sqrt{2m\varepsilon - p_z^2}}{\hbar}\right) \times \\ \times J_0\left(\frac{\eta krA2m}{\hbar(2m\varepsilon - p_z^2)^{1/2}} \sin \frac{L}{2r}\right), \quad (17)$$

где  $J_0$  — функция Бесселя.

При интегрировании по  $p_z$  следует использовать метод стационарной фазы. Учитывая неравенство (15), легко заметить, что наиболее быстро меняющаяся функция под интегралом — это функция  $\exp(ikL\sqrt{2m\varepsilon - p_z^2}/\hbar)$ , которая имеет точку стационарности  $p_z = 0$ .

В результате несложных вычислений приходим к выражению

$$I_k = -\frac{2^{1/4}V\hbar^{1/2}\zeta^{3/4}}{\pi^{3/2}ak^{5/2}L^{5/2}m^{1/4}} \Psi(k\Lambda) \times \\ \times \exp\left(-2\pi i k \gamma - i\frac{\pi}{4} + i\frac{kL\sqrt{2m\zeta_\sigma}}{\hbar}\right) \times \\ \times J_0\left(\frac{\eta krA\sqrt{2m}}{\hbar\sqrt{\zeta_\sigma}} \sin \frac{L}{2r}\right), \quad (18)$$

где  $\Psi(z) = z/\sinh z$ ,  $\Lambda = (\pi\Theta L/2\hbar\zeta)\sqrt{2m\zeta}$ . В плавно меняющихся функциях  $\zeta_\sigma$  можно заменить величиной  $\zeta$ , поскольку  $\mu H \ll \zeta$ .

С помощью формул (10) и (18) осциллирующую часть термодинамического потенциала можно записать в виде

$$\tilde{\Omega} = \Omega_0 \sum_k \frac{\Psi(k\Lambda)}{k^{5/2}} \sum_\sigma \cos\left(-2\pi k \gamma - \frac{\pi}{4} + \frac{kL}{\hbar}\sqrt{2m\zeta_\sigma}\right) \times \\ \times J_0\left(\frac{\eta krA\sqrt{2m}}{\hbar\sqrt{\zeta_\sigma}} \sin \frac{L}{2r}\right), \quad (19)$$

где  $\Omega_0 = 2^{5/4}V\hbar^{1/2}\zeta^{3/4}/(\pi^{3/2}aL^{5/2})$ .

Дальнейшее вычисление квантовых осцилляций термодинамических величин выполняется с помощью элементарного дифференцирования выражения (19). Определим осциллирующую часть магнитного момента  $\tilde{M}$  в направлении магнитного поля

$$\tilde{M} = -\frac{\partial \tilde{\Omega}}{\partial H}. \quad (20)$$

Оставляя лишь главные члены по параметру  $\mu H/\zeta$ , получаем

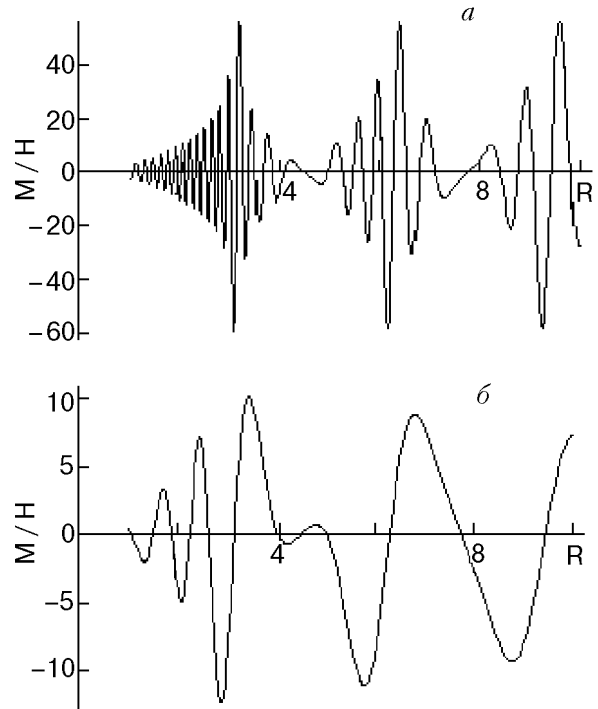


Рис. 1. Зависимость  $M/H$  от  $R = LeHa/2c\hbar$  в относительных единицах,  $\lambda = 100$  (а) и  $30$  (б).

$$\tilde{M} = \frac{2\Omega_0}{H} \sum_k \frac{\Psi(k\Lambda)}{k^{5/2}} \cos \left( -2\pi k\gamma - \frac{\pi}{4} + \frac{kL}{\hbar} \sqrt{2m\zeta} \right) \times \\ \times \frac{\lambda}{R} (-\sin R + R \cos R) J_1 \left( k \frac{\lambda}{R} \sin R \right), \quad (21)$$

где  $R = L/2r$ ,  $\lambda = \eta ALm/(\hbar \sqrt{2m\zeta})$ .

Аргумент функции Бесселя  $J_0$  в выражении (21) обращается в нуль, когда толщина образца  $L$  кратна периоду открытой электронной траектории  $2\pi r$ . С изменением магнитного поля кратность  $L$  величине  $2\pi r$  периодически нарушается и восстанавливается. Это приводит к модуляции магниторазмерных осцилляций (рис. 1).

Нетрудно получить осцилляционную зависимость намагниченности в случае квазидвумерного электронного энергетического спектра произвольного вида. Удерживая лишь два первых слагаемых в соотношении (1), получаем выражение для  $\tilde{M}$ , аналогичное (21), в котором  $\eta Am/\sqrt{2m\zeta}$  следует заменить величиной  $\epsilon_1/v_0$ , где  $v_0 = \partial\epsilon(p_y, 0)/\partial p_y$ .

1. М. В. Карцовник, В. Н. Лаухин, В. Н. Нижанковский, А. А. Игнатьев, *Письма в ЖЭТФ* 47, 302 (1988).

2. М. В. Карцовник, П. А. Кононович, В. Н. Лаухин, И. Ф. Щеголев, *Письма в ЖЭТФ* 48, 4978 (1988).
3. I. D. Parker, D. D. Pigram, R. H. Friend, M. Kurmo, and P. Day, *Synth. Met.* 27, A387 (1988).
4. А. М. Косевич, И. М. Лифшиц, *ЖЭТФ* 29, 743 (1955).
5. С. С. Недорезов, В. Г. Песчанский, *ЖЭТФ* 80, 368 (1981).
6. S. S. Nedorezov and V. G. Peschansky, *Physica* 108B, 903 (1981).
7. В. М. Гохфельд, О. В. Кириченко, В. Г. Песчанский, *ЖЭТФ* 79, 538 (1980).
8. М. Ya. Azbel, *Phys. Rev. Lett.* 82, 422 (1999).

## On quantum magnetosize oscillatory effects in organic conductors

M. Ya. Azbel, O. V. Kirichenko, and  
V. G. Peschansky

Quantum magnetosize oscillations (QMSO) of thermodynamical characteristics in layered conductors, possessing a quasi-two-dimensional electron energy spectrum of an arbitrary form, are studied theoretically. The QMSO modulation is shown to contain detailed information on the dispersion relations of charge carriers.